

Modelos de regressão para dados discretos (parte 4): dados binários

Prof. Caio Azevedo

Exemplo 10: germinação de sementes de Orobanche

- Orobanche: tipo de organismo vegetal (planta).
- Os dados foram obtidos a partir de um estudo sobre germinação de duas espécies de sementes de Orobanche (*O. aegyptiaca* 75 e *O. aegyptiaca* 73), veja ([Hinde e Demétrio \(1998\)](#)).
- Correspondem à quantidade de sementes analisadas (m) e germinadas (y) e tem-se o interesse na resposta y/m (conjunto de sementes).

Exemplo 10: germinação de sementes de Orobanche

- As sementes foram cultivadas em diluições de 1/125 a partir de dois tipos de extrato de raiz (pepino ou feijão), em um esquema fatorial 2×2 com replicações.
- Objetivo: avaliar o comportamento de cada espécie, sob cada um dos tipos de extrato, em termos da capacidade de germinação.

Exemplo 10: dados

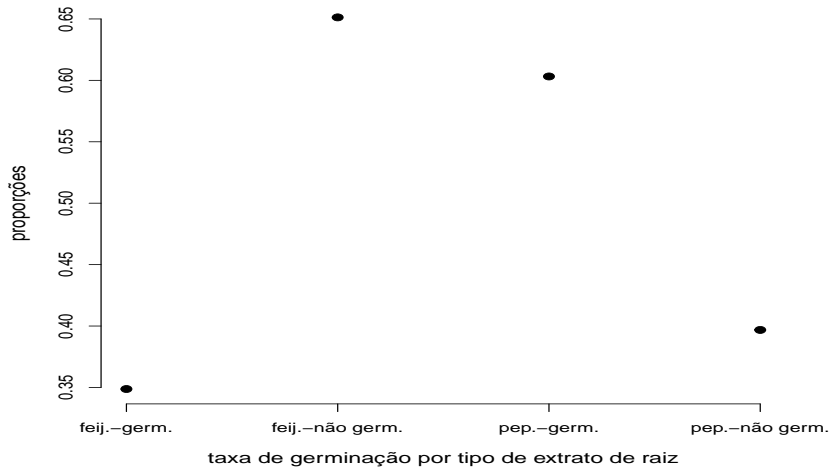
| O. aegyptiaca 75 | | | | O. aegyptiaca 73 | | | |
|------------------|--------|--------|--------|------------------|--------|--------|--------|
| feijão | pepino | feijão | pepino | feijão | pepino | feijão | pepino |
| y | m | y | m | y | m | y | m |
| 10 | 39 | 5 | 6 | 8 | 16 | 3 | 12 |
| 23 | 62 | 53 | 74 | 10 | 30 | 22 | 41 |
| 23 | 81 | 55 | 72 | 8 | 28 | 15 | 30 |
| 26 | 51 | 32 | 51 | 23 | 45 | 32 | 51 |
| 17 | 39 | 46 | 79 | 0 | 4 | 3 | 7 |
| - | - | 10 | 13 | - | - | - | - |

Análise descritiva (considerando y/m)

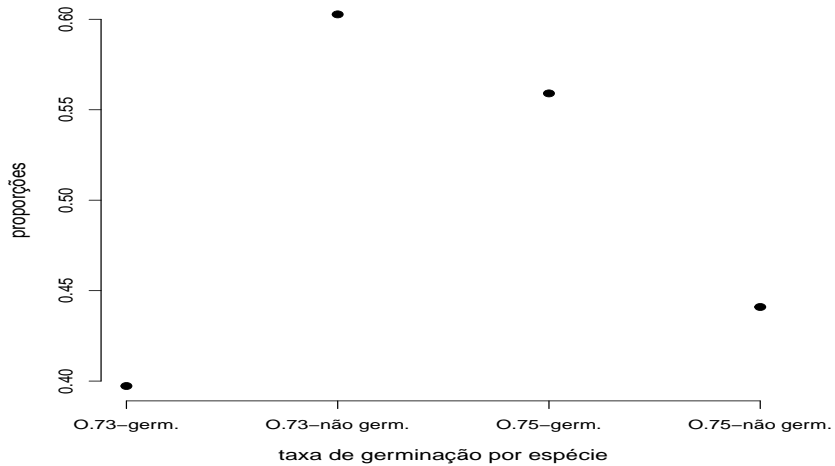
Os percentuais foram calculados dentro de cada categoria de tipo de extrato e espécie (os percentuais dentro de cada linha somam 100%).

| tipo de extrato | germinação | |
|-----------------|------------|------|
| | sim | não |
| feijão | 0,35 | 0,65 |
| pepino | 0,60 | 0,40 |
| espécie | | |
| O.aegyptiaca73 | 0,40 | 0,60 |
| Oaegyptiaca75 | 0,56 | 0,44 |

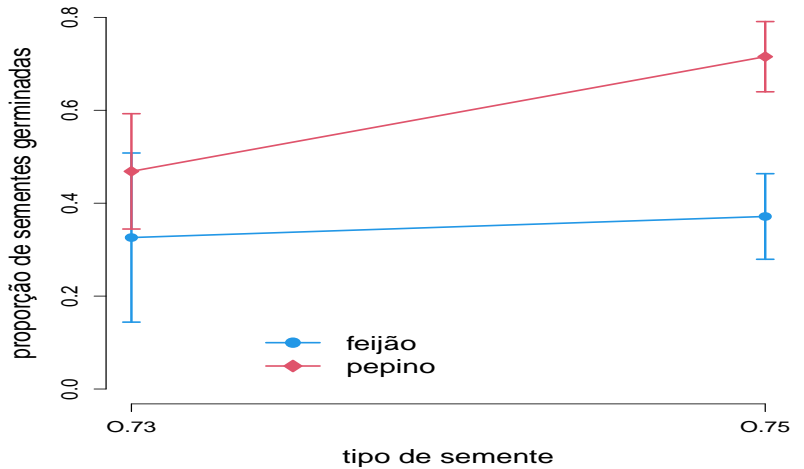
Gráficos de proporções por tipo de extrato



Gráficos de proporções por espécie



Gráficos de perfis médios



Modelos

■ Estrutura geral

$$Y_{ijk} \stackrel{ind.}{\sim} \text{Binomial}(m_{ijk}, \mu_{ij})$$

$$F^{-1}(\mu_{ij}) = \alpha + \beta_i + \gamma_j + (\beta\gamma)_{ij}, i = 1, 2, j = 1, 2, k = 1, 2, \dots, n_{ij}$$

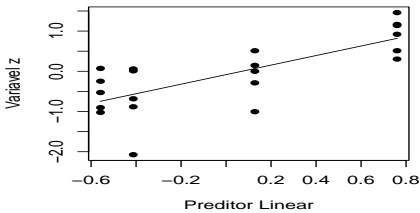
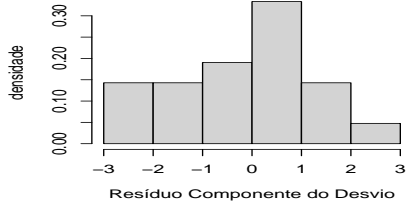
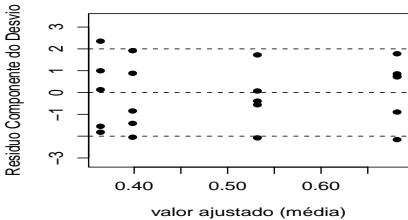
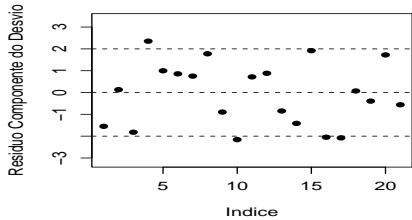
$$\beta_1 = \gamma_1 = (\beta\gamma)_{1j} = (\beta\gamma)_{i1} = 0, \forall i, j.$$

- n_{ij} : número total de sementes pertencentes a i -ésima espécie (1: O.aegyptiaca73, 2: O.aegyptiaca75) e tratados com o j -ésimo tipo de extrato (1: feijão, 2: pepino), $n_{11} = 5, n_{12} = 5, n_{21} = 5, n_{22} = 6$.
- Y_{ijk} : é o total de sementes germinadas na k -ésimo réplica, pertencentes à i -ésima espécie, e tratadas com o j -ésimo tipo de extrato vegetal.

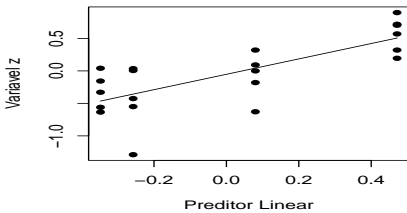
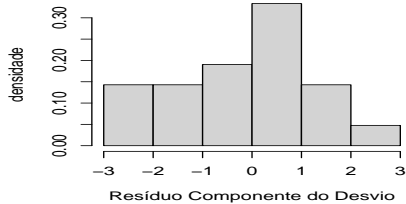
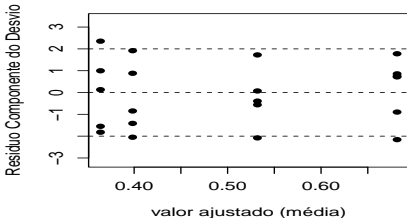
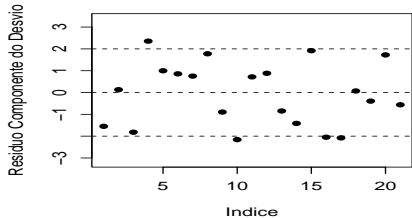
Modelos

- Modelo 1: $F^{-1}(\mu_{jk}) = \ln\left(\frac{\mu_{jk}}{1 - \mu_{jk}}\right)$ (logito).
- Modelo 2: $F^{-1}(\mu_{jk}) = \Phi^{-1}(\mu_{jk})$ (probito).
- Modelo 3: $F^{-1}(\mu_{jk}) = \tan[\pi(\mu_{jk} - 1/2)]$ (cauchito).
- Modelo 4: $F^{-1}(\mu_{jk}) = \ln(-\ln(1 - \mu_{jk}))$ (cloglog/extremito).

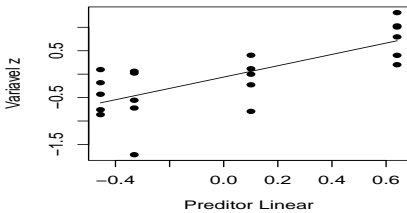
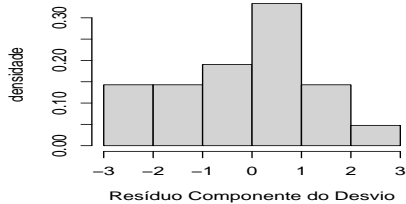
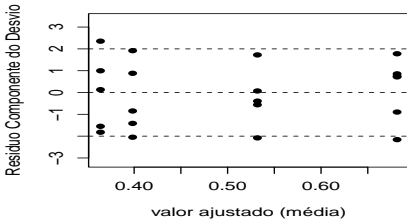
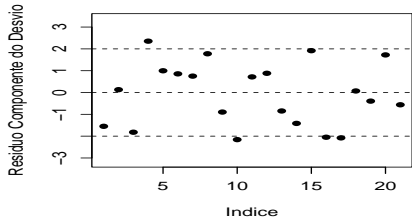
Gráficos de diagnóstico: ligação logito



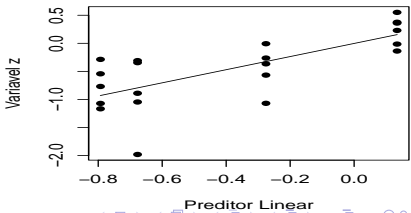
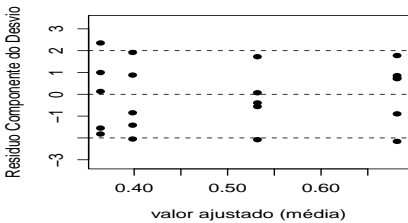
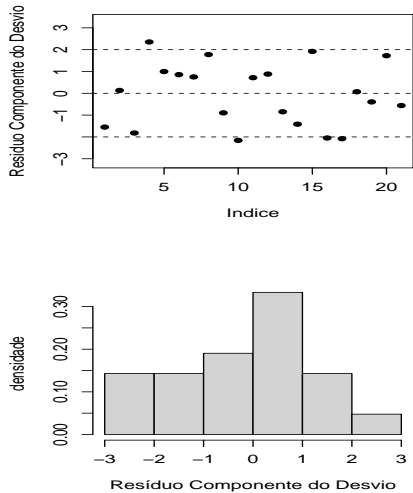
Gráficos de diagnóstico: ligação probito



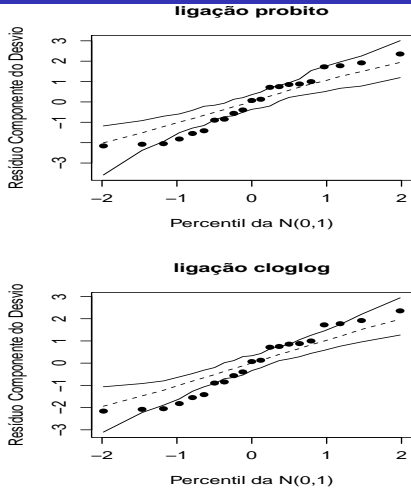
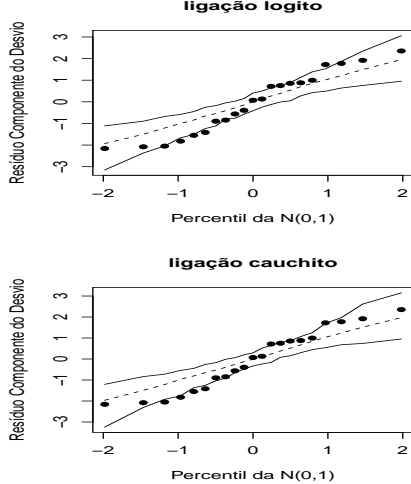
Gráficos de diagnóstico: ligação cauchito



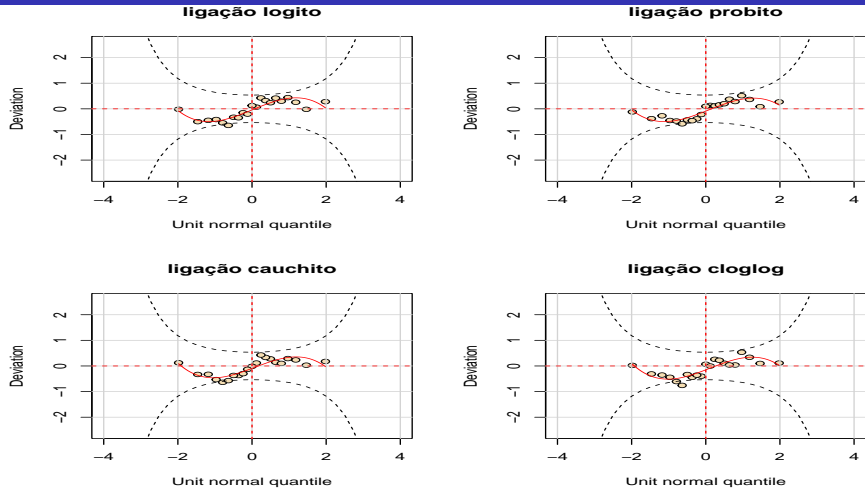
Gráficos de diagnóstico: ligação cloglog



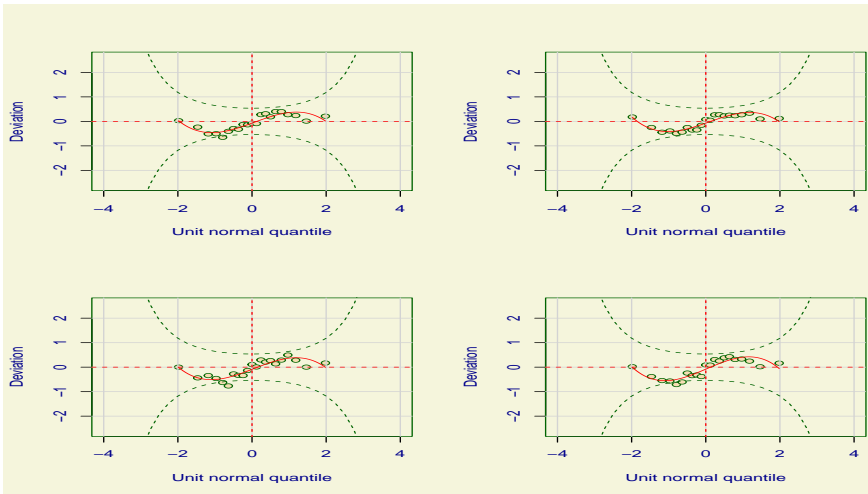
Gráficos de envelopes para os quatro modelos



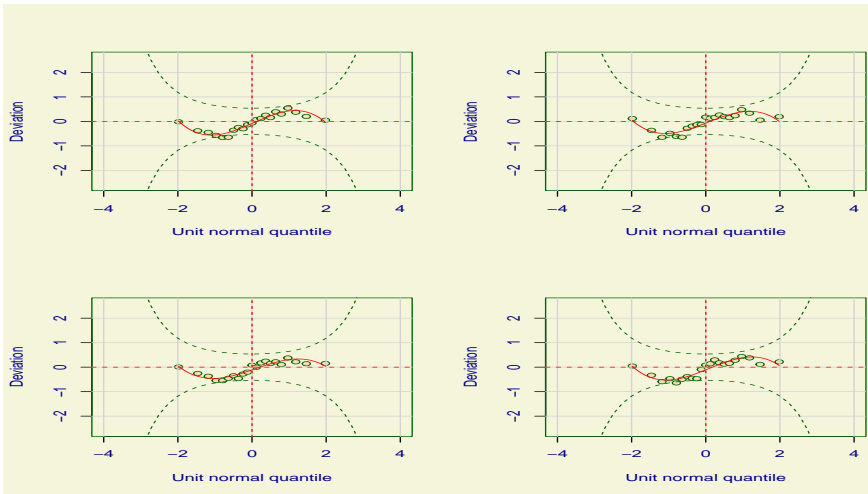
Wormplots para os quatros modelos



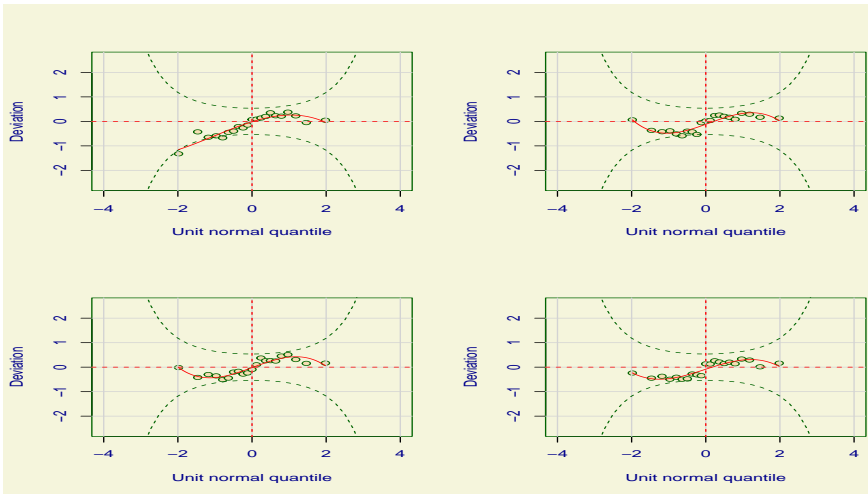
Wormplots para o modelo logito



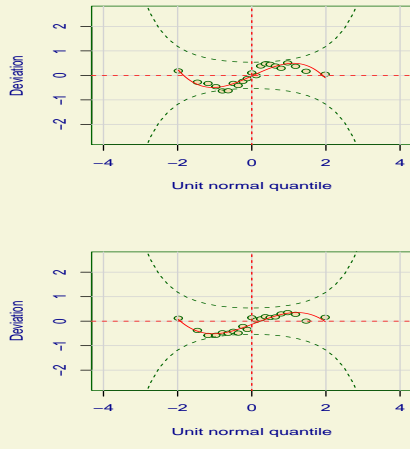
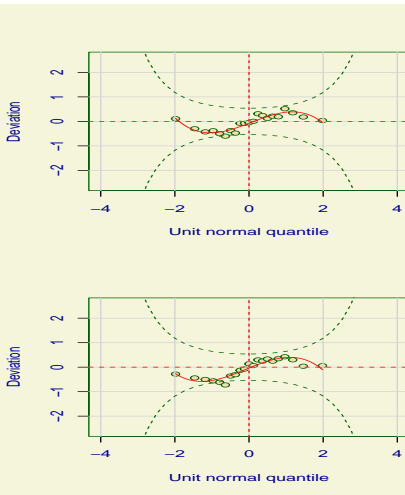
Wormplots para o modelo probito



Wormplots para o modelo cauchito



Wormplots para o modelo cloglog

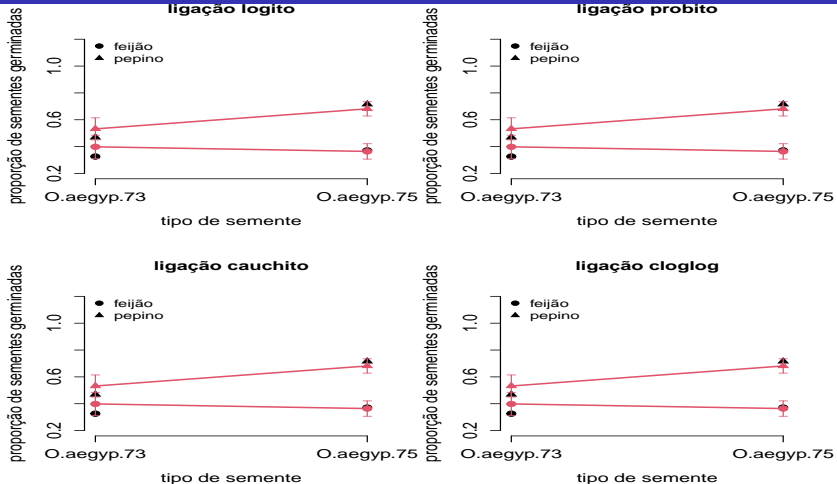


Comparação entre os modelos (funções de ligação)

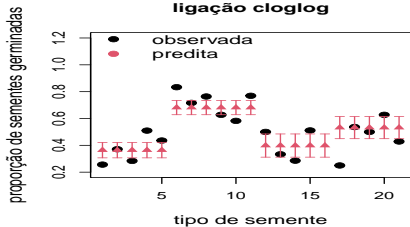
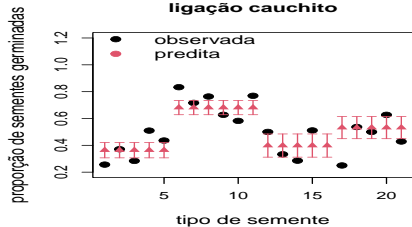
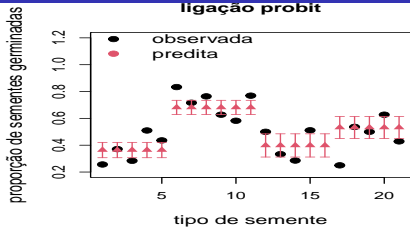
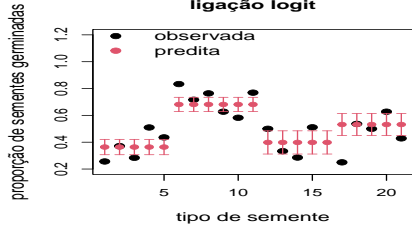
| Modelo | AIC | BIC | AICc | SABIC | HQCIC | CAIC | p-valor | DABM |
|----------|--------|--------|--------|--------|--------|--------|---------|--------|
| logito | 117,87 | 122,05 | 120,37 | 109,70 | 118,78 | 126,05 | 0,11 | 0,0104 |
| probito | 117,87 | 122,05 | 120,37 | 109,70 | 118,78 | 126,05 | 0,11 | 0,0104 |
| cauchito | 117,87 | 122,05 | 120,37 | 109,70 | 118,78 | 126,05 | 0,11 | 0,0104 |
| cloglog | 117,87 | 122,05 | 120,37 | 109,70 | 118,78 | 126,05 | 0,11 | 0,0104 |

$$\text{DABM} = \frac{1}{n} \sum_{j=1}^2 \sum_{k=1}^2 \sum_{i=1}^{n_{jk}} \left| \frac{y_{ijk}}{m_{ijk}} - \tilde{\mu}_{ijk} \right|.$$

Médias das proporções observadas e preditas



Proporções individuais observadas e preditas



Estimativas dos parâmetros: modelos 1 e 2

| Modelo | Parâm. | Est. | EP | IC(95%) | Estat. | Z_t | p-valor |
|---------|----------------------|-------|------|-----------------|--------|--------|---------|
| logito | α | -0,41 | 0,18 | [-0,77 ; -0,05] | -2,24 | 0,0252 | |
| | β_2 | -0,15 | 0,22 | [-0,58 ; 0,29] | -0,65 | 0,5132 | |
| | γ_2 | 0,54 | 0,25 | [0,05 ; 1,03] | 2,16 | 0,0306 | |
| | $(\beta\gamma)_{22}$ | 0,78 | 0,31 | [0,18 ; 1,38] | 2,54 | 0,0111 | |
| probito | α | -0,26 | 0,11 | [-0,48 ; -0,03] | -2,25 | 0,0243 | |
| | β_2 | -0,09 | 0,14 | [-0,36 ; 0,18] | -0,65 | 0,5137 | |
| | γ_2 | 0,34 | 0,16 | [0,03 ; 0,64] | 2,17 | 0,0301 | |
| | $(\beta\gamma)_{22}$ | 0,48 | 0,19 | [0,11 ; 0,85] | 2,54 | 0,0112 | |

Estimativas dos parâmetros: modelos 3 e 4

| Modelo | Parâm. | Est. | EP | IC(95%) | Estat. Z_t | p-valor |
|----------|----------------------|-------|------|-------------------|--------------|----------|
| cauchito | α | -0,33 | 0,15 | [-0,63 ; -0,03] | -2,15 | 0,0316 |
| | β_2 | -0,12 | 0,19 | [-0,50 ; 0,25] | -0,66 | 0,5100 |
| | γ_2 | 0,43 | 0,20 | [0,03 ; 0,83] | 2,12 | 0,0342 |
| | $(\beta\gamma)_{22}$ | 0,66 | 0,26 | [0,15 ; 1,18] | 2,55 | 0,0109 |
| cloglog | α_2 | -0,68 | 0,14 | [-0,96 ; -0,39] | -4,69 | < 0,0001 |
| | β_2 | -0,12 | 0,18 | [-0,46 ; 0,23] | -0,66 | 0,5112 |
| | γ_2 | 0,40 | 0,19 | [0,04 ; 0,77] | 2,15 | 0,0315 |
| | $(\beta\gamma)_{22}$ | 0,53 | 0,23 | [0,08 ; 0,97] | 2,34 | 0,0195 |

Comentários

- A qualidade do ajuste dos modelos foram igualmente ruins.
- Uma vez que eles diferem apenas em termos das funções de ligação, o que estaria causando o mal ajuste.
 - Pontos aberrantes (provavelmente não).
 - Ausência de covariáveis (talvez) ou de termos extras (provavelmente não) no preditor linear.
 - Super/subdispersão (muito provavelmente).